

УДК 541.64:536.7:543.422.25

# ИССЛЕДОВАНИЕ ФАЗОВОГО СОСТАВА И СТЕПЕНИ СШИВАНИЯ ДИСПЕРСНОЙ УПРОЧНЯЮЩЕЙ ФАЗЫ УДАРОПРОЧНОГО ПОЛИСТИРОЛА С ПОМОЩЬЮ ПРОТОННОЙ МАГНИТНОЙ РЕЛАКСАЦИИ

© 1993 г. Е. Р. Гасилова, В. А. Шевелев, Л. И. Гинзбург, Е. М. Таркова

Институт высокомолекулярных соединений Российской академии наук  
199004 Санкт-Петербург, Большой пр., 31

Поступила в редакцию 01.05.92 г.

Исследована протонная магнитная релаксация в дисперсной фазе ударопрочного ПС, а также в гелях дисперсной фазы, набухших в гексахлорбутадиене или в толуоле-д<sub>8</sub>. Суммарное содержание окклюдиированного и привитого ПС в дисперсной фазе составляет 55 - 60 масс. %. В ходе синтеза ударопрочного ПС при конверсиях мономера 50% образуется редкая сетка каучука с ММ отрезка цепи между узлами  $M_c \sim 10^5$ . При конверсиях ≥ 90% появляются густосшившие области с  $M_c \sim 10^4$ . С помощью экспериментов, моделирующих процесс сшивания каучука в области больших конверсий (88 - 94%), установлено, что сшивание каучука происходит путем образования коротких привитых с обоих концов цепей ПС с  $M < 7 \times 10^3$ .

Ударопрочный полистирол (УПС) представляет собой матрицу ПС, в которой распределены частицы сшитой каучуковой фазы, содержащей окклюдированный и привитой ПС. Эксплуатационные свойства УПС достигаются оптимизацией ряда параметров дисперсной фазы, как внешних, которые характеризуют ее распределение в матрице ПС (таких, как доля дисперсной фазы, распределение частиц по размерам и т.д.), так и внутренних, которые определяются параметрами самой дисперсной фазы (ее фазовым составом, степенью прививки ПС на каучук и густотой сетки каучука). Разнообразие кинетических, физико-химических и температурно-технологических подходов при образовании УПС широко освещалось в литературе начиная с 60-х годов и по настоящее время [1 - 3], однако ряд вопросов практически не нашли отражения ни в научной, ни в патентной литературе. К ним в первую очередь относится исследование процесса сшивания каучуковой фазы, образующейся при синтезе УПС путем термической полимеризации раствора каучука в стироле. Традиционно степень сшивания каучука в дисперсной фазе УПС оценивают с помощью индекса набухания, причем этот метод дает брутто-характеристику дисперсии в целом и применим только в области конверсий стирола больше 95%. В связи с этим в настоящей работе для оценки изменений степени сшивания в процессе синтеза УПС в области меньших конверсий стирола использовали импульсный метод ЯМР, который, как известно [4], применим и в случае редких сеток. Кроме того, на основе анализа ядерных магнитных релаксационных свойств дис-

персной фазы исследована ее фазовая морфология.

## ЭКСПЕРИМЕНТАЛЬНАЯ ЧАСТЬ

УПС получали в условиях, моделирующих промышленный синтез, путем трехстадийной термической полимеризации 5%-ного раствора в стироле полибутадиенового каучука марки СКД-ПС. Значение ММ каучука составляло  $2.7 \times 10^5$ , содержание 1,2-звеньев 9.6%.

Первую стадию реакции проводили при 120°C в колбе с мешалкой до конверсии 25%. Затем раствор разливали по ампулам, которые вакуумировали, запаивали в атмосфере аргона и выдерживали сначала при 150°C, а на последней стадии реакции – при 200°C. Дисперсную фазу выделяли из УПС фракционированием в метил-этилкетоне – плохом растворителе каучука, осадок отделяли центрифугированием. Среднюю молекулярную массу ПС в дисперсной фазе определяли после окислительной деструкции каучука с помощью ГПХ, она составила  $3 \times 10^5$ .

Времена спин-решеточной релаксации протонов определяли на частоте ЯМР 18.6 МГц с помощью последовательности радиочастотных импульсов  $\pi - t - \pi / 2$ , где  $t$  – временной интервал между импульсами. Затухание поперечной намагниченности определяли методом спинового эха на частоте 16 МГц. Параметры сетки каучука оценивали согласно работе [4] по формуле

$$M_c = T_{2n} 0.18 S M_0 \gamma (\Delta H^2)^{1/2}, \quad (1)$$

где  $\gamma$  – гиromагнитное отношение,  $\overline{\Delta H^2}$  – второй момент резонансной линии твердого тела,  $S$  – число мономерных звеньев в статистическом сегменте Куна,  $M_0$  – ММ мономерного звена полимера,  $M_c$  – ММ отрезка цепи между узлами сетки,  $T_{2n}$  – время спин-спиновой релаксации в области высокотемпературного плато в сшитых полимерах. Для ПБ значения параметров, входящих в расчет, следующие:  $M_0 = 54$ ,  $S = 7$  [5],  $\overline{\Delta H^2} = 20 \text{ Гс}^2$  [6]. Необходимо отметить, что с целью ослабления влияния на величину  $T_{2n}$  узлов сетки зацеплений, как правило, для оценки степени сшивания исследуют магнитную релаксацию в гелях сшитых полимеров. Однако при оценке степени сшивания сложных композиционных сеток, которыми по существу и являются исследуемые дисперсные фазы, особое значение приобретает выбор растворителя. В настоящей работе проведено сравнение динамических свойств гелей в двух растворителях: гексахлорбутадиене (селективном растворителе каучука) и толуоле- $d_8$  – хорошем растворителе ПБ и ПС. В связи с необходимостью выделения сигнала каучукового компонента из общего затухания намагниченности геля при оценке степени сшивания каучука в дисперсной фазе, помимо обычных гелей (ПБ–ПС) исследовали гели с дейтерированым ПС-компонентом (ПБ–ПС- $d_8$ ).

## РЕЗУЛЬТАТЫ И ИХ ОБСУЖДЕНИЕ

На рис. 1 представлены температурные зависимости времен  $T_1$  индивидуальных полимеров ПС и ПБ, а также дисперсной фазы. Видно, что для последней зависимость  $T_1$  от температуры обладает двумя минимумами. Сравнение положения областей релаксации в дисперсной фазе и в индивидуальных полимерах на температурной шкале показывает, что минимумы  $T_1$  в дисперсии обусловлены сегментальной подвижностью ПБ- и ПС-компонентов. Таким образом, полимеры в дисперсной фазе сегрегированы, и это было показано на сходных системах, например, с помощью классических электронно-микроскопических исследований [3]. Релаксационные данные свидетельствуют о взаимном влиянии сегрегированных компонентов. Так, например, смещение минимума  $T_1$  ПС-компоненты на  $15^\circ\text{C}$  в сторону низких температур относительно области релаксации индивидуального ПС указывает на пластифицирующее влияние на ПС каучукового компонента.

Исходя из отношения величин  $T_1$  в минимумах ПС-компонента и индивидуального ПС, рассчитали долю ПС-компонента в дисперсной фазе, которая для разных образцов составляла 50–70 масс.%. Относительно каучукового компонента подобные оценки затруднительны, так как

область минимума  $T_1$ , наблюдающаяся при  $-30^\circ\text{C}$  в исходном СКД-ПС, искажена вследствие его кристаллизации.

На рис. 1 представлена также зависимость времени  $T_1$  от температуры в области релаксации ПС-компонента для композиции ПБ–ПС, выделенной из дисперсной фазы после десятиминутной ультразвуковой обработки (таким путем пытались удалить окклюдируенный ПС, не связанный химически с сеткой каучука). На рис. 1 видно, что значение  $T_1$  в минимуме ПС-компонента в данной системе существенно больше, чем в исходной дисперсной фазе. Рассчитанная по значению ( $T_1$ )<sub>мин</sub> доля ПС составляет 12 масс.%. Если предположить, что после обработки ультразвуком удалось удалить весь окклюдируенный ПС, то в исходной дисперсной фазе из 55 масс.% ПС на долю окклюдиированного приходится 49%, привитого – всего 6%.

На рис. 2 представлены данные по затуханию поперечной намагниченности индивидуальных ПБ, ПС, а также дисперсной фазы при  $40^\circ\text{C}$ . Поскольку при этой температуре ПС находится в стеклообразном состоянии, его затухание описывается гауссовой функцией:  $A(t)/A_0 = \exp(-t^2 \gamma^2 \overline{\Delta H^2}/2)$ , где  $A(t)$  и  $A_0$  – амплитуды поперечной намагниченности в текущий и начальный моменты времени. Для каучука затухание описывается функцией  $\exp(-t/T^2)$ . В дисперсной фазе УПС затухание поперечной намагниченности может быть представлено в виде суммы двух составляющих, отвечающих релаксации каучукового и ПС-компонента

$$A(t)/A_0 = p \exp(-t/T_2) + (1-p) \exp(-t^2 \gamma^2 \overline{\Delta H^2}/2), \quad (2)$$

где  $p$  – доля протонов каучукового компонента. Двухкомпонентность затухания подтверждает вывод о сегрегации ПБ и ПС в композиции, сделанный выше на основе данных спин-решеточной релаксации. Параметры поперечной магнитной релаксации компонентов и индивидуальных полимеров отличаются:  $T_2$  каучукового компонента (90 мкс) существенно меньше, чем исходного СКД-ПС (340 мкс);  $\overline{\Delta H^2}$  ПС-компонента ( $7.6 \text{ Гс}^2$ ) немного меньше, чем индивидуального ПС ( $8.5 \text{ Гс}^2$ ). Эти данные свидетельствуют о пластификации ПС-компонента в дисперсной фазе и о заторможенности движения сегментов ПБ-компонента в композиции. Молярная доля каучукового компонента рассчитана по величине  $p$  и составляет 0.32, что совпадает со значением 0.31, полученным методом титрования по двойным связям.

Перейдем к анализу данных спин-спиновой релаксации в гелях дисперсной фазы, набухших в гексахлорбутадиене и в толуоле- $d_8$ . Поскольку зависимости  $A(t)$  в гелях криволинейны, оцени-

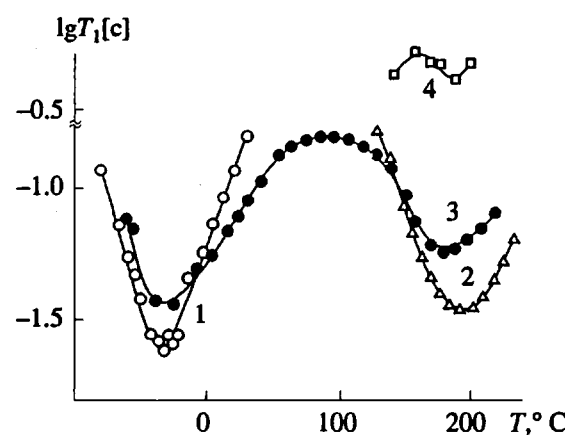


Рис. 1. Температурные зависимости времен протонной спин-решеточной релаксации индивидуальных полимеров СКД-ПС (1), ПС (2), а также дисперсной фазы (3) и дисперсной фазы, из которой после десятиминутной ультразвуковой обработки удален окклюдированный ПС (4). Частота ЯМР 18.6 МГц.

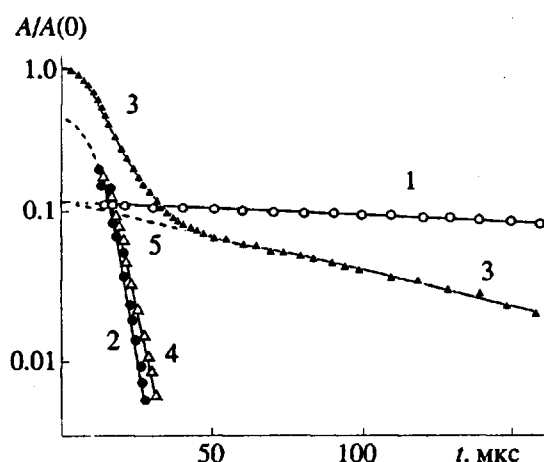


Рис. 2. Затухание поперечной намагниченности при 40°C в СКД-ПС (1), ПС (2), в дисперсной фазе (3), ее быстро- (4) и медленноспадающих компонентах (5). Частота ЯМР 16 МГц.

вали эффективное время спин-спиновой релаксации, за которое начальное значение  $A_0$  уменьшится в  $e$  раз. На рис. 3 представлены типичные зависимости времени  $T_{2e}$  от температуры в гелях. Видно, насколько резко меняется релаксационное поведение при изменении качества растворителя. В гексахлорбутадиене (селективном растворителе каучука) на температурной зависимости времени  $T_{2e}$  геля видны два участка: низкотемпературный, связанный с увеличением конформационной подвижности ПБ-компонента с температурой; высокотемпературный, отражающий рост сегментальной подвижности ПС-

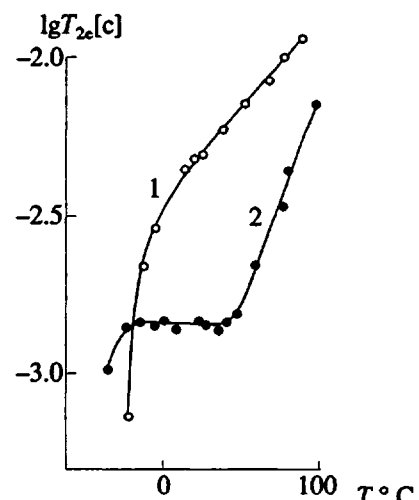


Рис. 3. Температурные зависимости эффективного времени спин-спиновой релаксации гелей дисперсной фазы, набухших в толуоле- $d_8$  (1) и гексахлорбутадиене (2). Концентрации растворителей 70 масс. %. Частота ЯМР 18.6 МГц.

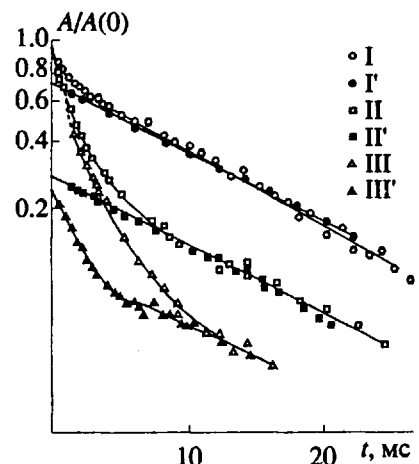


Рис. 4. Затухание поперечной намагниченности при -10°C в гелях дисперсной фазы, набухших в 80 масс.% гексахлорбутадиена. Гели дисперсных фаз, выделенных при конверсиях стирола 53, 69 и 90%, обозначены соответственно I, II, III; при тех же конверсиях стирола- $d_8$  I', II', III'. Частота ЯМР 16 МГц.

компоненты геля. Эти два участка разделены областью плато, которая может свидетельствовать об анизотропии подвижности каучукового компонента. Однако область плато, как правило, плохо разрешима даже в селективном растворителе из-за наложения областей релаксации ПБ- и ПС-компонентов гелей. В хорошем растворителе обоих полимеров (толуоле- $d_8$ ) рост подвижности ПС-компонента вообще не позволяет следить за релаксационным поведением каучука в геле.

В связи с этим для определения параметров сетки каучука была исследована спин-спиновая

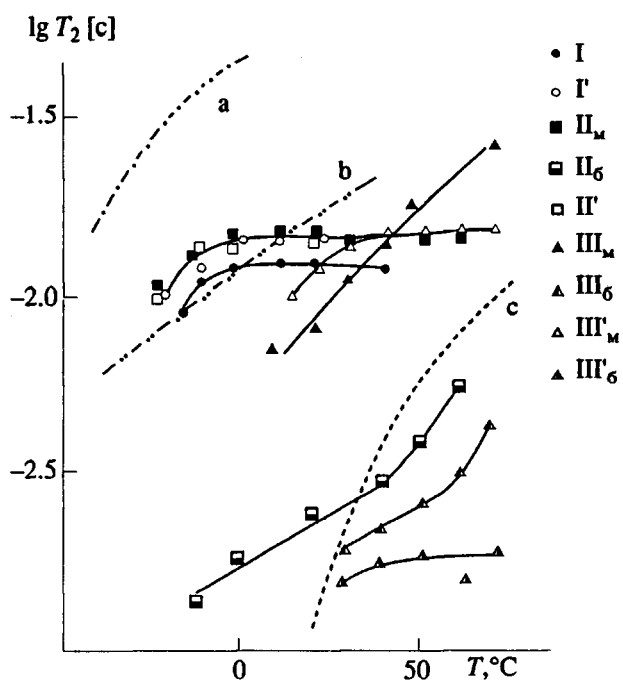


Рис. 5. Температурные зависимости времени спин-спиновой протонной релаксации гелей I - III и I' - III', а также индивидуальных набухших полимеров СКД-ПС (а, б) и ПС (с). Концентрация гексахлорбутадиена в образце а составляет 90 масс. %, в остальных 80 масс. %. Индексы "б" и "м" соответствуют временем  $T_{26}$  и  $T_{2m}$ .

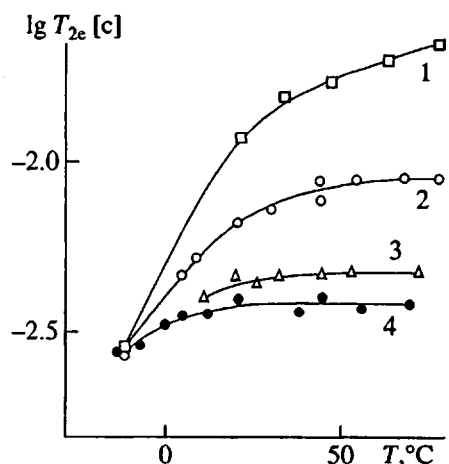


Рис. 6. Температурные зависимости времени спин-спиновой релаксации набухших в  $C_4Cl_6$  каучуков, предварительно прогретых в течение 60 мин при  $200^\circ\text{C}$  в присутствии 0 (1), 6 (2), 8 (3) и 12 масс. % (4) стирола. Концентрация  $C_4Cl_6$  в гелях 70 масс. %.

релаксация в гелях дисперсной фазы ПБ-ПС и ПБ-ПС- $d_8$ , набухших в гексахлорбутадиене. Содержание растворителя в гелях составляло 80 масс. %. Дисперсные фазы выделены в процессе получения УПС при конверсиях 55, 69 на второй стадии ре-

акции и 93% на третьей стадии, соответственно, I, II и III (ПБ-ПС) и I', II' и III'' (ПБ-ПС- $d_8$ ). На рис. 4 приведены для примера кривые затухания этих гелей при  $-10^\circ\text{C}$ . Для гелей II, III и III' затухание является суммой двух экспонент

$$A(t) / A_0 = p \exp(-t / T_{2m}) + (1-p) \exp(-t / T_{26}), \quad (3)$$

где индексы "б" и "м" относятся к быстро- и медленноспадающим составляющим кривой затухания. Для остальных гелей затухание экспоненциально. Из сравнения кривых затухания гелей II и II' на рис. 4 следует, что медленноспадающий компонент образца II относится к релаксации ПБ, тогда как быстроспадающий компонент отражает спин-спиновую релаксацию ПС в геле II. Появление быстроспадающей составляющей затухания при релаксации ПБ в геле III' свидетельствует о кинетической неоднородности звеньев каучука. Из этого следует, что в быстроспадающий компонент затухания геля III дают вклад не только ПС-компонент, но и заторможенные звенья ПБ.

Температурные зависимости времени  $T_2$ ,  $T_{2m}$  и  $T_{26}$  гелей представлены на рис. 5. Видно, что в большинстве случаев (кроме времен  $T_{26}$  гелей II и III) наблюдается область высокотемпературного плато, которая, согласно работе [4], характерна для сшитых набухших систем. Значения времен  $T_2$  в области плато для гелей I и II, а также времени  $T_{2m}$  гелей II и III примерно совпадают. Рассчитанная по этим значениям по формуле (1) величина  $M_m \sim 10^5$ . Следовательно, уже на ранних стадиях получения УПС в дисперсной фазе образуется редкая сетка каучука, в которой на одну макромолекулу ПБ приходится в среднем два узла. Оценка величины  $M_c$  густосшитых участков сетки каучука, возникающих в области больших конверсий, по значению времени  $T_{26}$  в области плато геля III', дает  $M_c \sim 3 \times 10^4$ . Таким образом, на последней стадии реакции получения УПС сетка каучука в дисперсной фазе становится неоднородной.

На рис. 5 видно, что рост подвижностей каучукового и ПС-компонентов гелей I и II, выражаящийся в увеличении соответствующих времен  $T_2$  с температурой, происходит примерно в тех же температурных областях, что и в индивидуальных набухших полиметрах. Это указывает на сегрегацию компонентов в гелях, набухших в селективном растворителе. Однако на самом деле области релаксации каучуковых компонент гелей I' и II' смещены в сторону меньших температур по отношению к исходному набухшему каучуку при той же концентрации растворителя. Если это смещение обусловлено перераспределением селективного растворителя между каучуковой и ПС-фазами в геле в пользу первой, то зависимости времени  $T_2$  от температуры ПС-компонента гелей должны быть смещены в сторону высоких температур по сравнению с индивидуальным набухшим ПС. В действительности картина релаксационно-

го поведения ПС-компоненты гелей сложнее. На рис. 5 видно, что для гелей II и III наблюдаются два участка зависимостей времен  $T_{2g}$  от температуры, которые обладают разными наклонами. Более пологий участок роста времени  $T_2$  ПС-компонента геля II начинается в промежутке между областями релаксации индивидуальных набухших полимеров. По-видимому, он обусловлен существованием низкомолекулярных фракций ПС, которые могут образовывать области смешения с каучуковым компонентом геля. При повышении температуры наклон зависимости  $T_{2g}$  от температуры в геле II резко возрастает и становится таким же, как и у индивидуального набухшего ПС. Этот участок смешен в сторону высоких температур по сравнению с зависимостью времени  $T_2$  от температуры для индивидуального набухшего ПС с  $M = 3 \times 10^5$ , что и должно наблюдаваться при перераспределении гексахлорбутадиена между фазами каучука и ПС в геле. Зависимость времени  $T_{2g}$  геля III от температуры симметрична аналогичной зависимости геля II и еще больше смешена в сторону высоких температур относительно исходного набухшего ПС.

Для установления природы сшивания каучука на последней стадии полимеризации были исследованы модельные системы, синтезированные в условиях, имитирующих указанную стадию. С этой целью СКД-ПС, предварительно набухший в 0, 6, 8 и 12 масс. % стирола, был прогрет при 200°C в течение 1 ч. На рис. 6 представлены температурные зависимости времен  $T_2$  гелей этих образцов, набухших в 70 масс. %  $C_4Cl_6$ . Видно, что в геле исходного прогретого ПБ время  $T_2$  увеличивается с температурой, в остальных гелях наблюдаются

области высокотемпературного плато. Рассчитанные, согласно формуле (1), величины  $M_c$  для каучуков, прогретых в присутствии 6, 8 и 12 масс. % стирола, составляют соответственно  $7 \times 10^4$ ,  $4 \times 10^4$  и  $3 \times 10^4$ . Полагая, что все цепи ПС участвуют в сшивании каучука, т.е. что нет подвешенных свободных цепей, получили верхнюю оценку ММ сшивавших цепей ПС, равную  $7 \times 10^3$ .

Возвращаясь к рис. 6, отметим, что сшивание каучука короткими цепями ПС не приводит к смещению областей релаксации каучука в геле. В то же время из рис. 5 следует, что в гелях III и III' области релаксации медленноспадающих компонентов затухания смешены в сторону высоких температур относительно геля II на 40°C. По-видимому, это смещение обусловлено образованием областей вынужденной совместности компонентов в дисперсной фазе на последней стадии реакции получения УПС.

#### СПИСОК ЛИТЕРАТУРЫ

- Stein D.J., Fahrbach G., Adler H. // Angew. Makromol. Chem. 1974. B. 38. N 1. S. 67.
- Saam I.C., Mettler C.M., Falender J.R., Dill T.J. // J. App. Polym. Sci. 1979. V. 24. N. 1. P. 187.
- Бакнелл К.Б. // Ударопрочные пластики. Л.: Химия, 1981.
- Готлиб Ю.Я., Лифшиц М.И., Шевелев В.А., Лишанский И.С., Баланина И.В. // Высокомолек. соед. А. 1976. Т. 18. № 10. С. 2299.
- Brandrup J., Immergut E.H. // Polymer Handbook. 2nd ed. New York: Willey, 1975.
- Слоним И.Я., Любимов А.Н. Ядерный магнитный резонанс в полимерах. М.: Химия, 1966. С. 205.

## Study of Phase Composition and Crosslinking in Dispersed Strengthening Phase of High Impact Strength Polystyrene by $^1H$ Magnetic Relaxation

E. R. Gasilova, V. A. Shevelev, L. I. Ginzburg, and E. M. Tarkova

Institute of Macromolecular Compounds, Russian Academy of Sciences, Bol'shoi Pr. 31, St. Petersburg, 199004 Russia

**Abstract** –  $^1H$  magnetic relaxation in the dispersed phase of high impact strength polystyrene (PS), as well as in gels of the dispersed phase swollen in toluene- $D_8$ , was studied. The total mass content of occluded and grafted PS in the dispersed phase was 55 - 60%. In the course of synthesis of high impact strength PS, at 50% of monomer conversion, a low-density rubber network is formed with the molecular mass of chains between crosslinks  $M_c \sim 10^5$ . At conversions  $\geq 90\%$ , regions with a higher network density appear with  $M_c \sim 10^4$ . Experiments modelling rubber network formation showed that at a high conversion (88 - 94%) the crosslinking proceeds via formation of short PS chains grafted from both ends with  $M_c < 7 \times 10^3$ .